

بررسی رفتار بیومکانیکی میله داخل کanal استخوان ران

حامد فرح پور^{۱*}، مهرداد ظروفی^۱، علی اکبر ضیائی^۲

^۱ دانشکده مکانیک دانشگاه علم و صنعت، آموزشی علمی دانشکده مهندسی مواد دانشگاه صنعتی شریف

*نویسنده پاسخگو: hamed_farahpour@yahoo.com

چکیده

مقدمه: میله‌های داخل کanal استخوانی یکی از انواع کاشتنی‌های ارتودنسی است که در درمان شکستگی‌های استخوان‌های بلند در شکستگی‌های چند تکیه‌ای استخوان کاربرد فراوان دارد. روشهای اجزا محدود می‌تواند برای ارزیابی بارگذاری، بررسی توزیع مولفه‌های تنفس و مولفه‌های کرنش و در نهایت پیش‌بینی رفتار مکانیکی، پایداری و شکست این میله‌ها بکار گرفته شود.

هدف: ارزیابی و بازسازی شرایط مرزی واقعی در شبیه‌سازی اجزا محدود و همچنین ایجاد شرایط منطبق با شرایط بارگذاری فیزیولوژیک در روش‌های تجربی از مواردی است که مورد توجه قرار گرفته است.

مواد و روش‌ها: در این پژوهش برای شبیه‌سازی از تحلیل شبه استاتیک، الاستوپلاستیک استفاده شده است.

نتایج: تاثیر شرایط مرزی در مدل‌سازی میله‌های داخل کanal از بالا واردشونده استخوان ران بهنگام بیهود کامل استخوان مورد بررسی قرار گرفته و تأثیر شرایط مرزی در پیش‌بینی رفتار مکانیکی کاشتنی به بحث گذاشته شده است.

بحث: بالگوی توزیع تنفس در داخل استخوان در پیش و پس از استفاده از کاشتنی مورد بررسی قرار گرفته است و مشابهت الگوی توزیع تنفس در هر دو حالت همراه با کاهش سطح تنفس در زمان استفاده از کاشتنی ارائه گردیده است.

کلید واژه: کاشتنی، میله‌های داخل کanal، المان محدود، بیومکانیک، شبیه‌سازی.

تاریخ دریافت: ۸۸/۴/۷

تاریخ پذیرش: ۸۸/۴/۲۵

مقدمه

کانالی (در طول بازه زمانی بهبود شکست استخوانی) در اثر انجام فعالیت‌های مختلف (۸ فعالیت) اندازه‌گیری نموده است. در این پژوهش اثرات بهره‌برداری دینامیکی از کاشتنی مورد بررسی قرار گرفته و نشان داده شده است که استفاده از این روش تاثیر چندانی در نیروهای وارد بر کاشتنی ندارد.(۸)

در همین راستا Antekeier سعی نموده است تا با در نظر گرفتن وخیم‌ترین شرایط بارگذاری ممکن (عدم تماس قطاع‌های استخوان شکسته شده در محل شکست با میله داخل کانالی) و بازسازی شرایط مرزی استفاده شده در تحقیق Bucholz به بررسی آزمایشگاهی انواع میله‌های داخل کانالی بپردازد.(۹) هدف از این پژوهش بررسی فاصله ایمن مابین ناحیه شکست استخوان تا پیچ فوقانی از مجموع پیچ‌های انتهایی تحتانی کاشتنی بوده است. در این بررسی، بارگذاری ساده و تنها به صورت نیروی فشاری بر انتهای فوچانی استخوان ران صورت گرفته و عمر خستگی به صورت چرخه‌های بارگذاری متناوب بدست آمده‌اند. همچنین کاشتنی‌هایی که بدون شکست خستگی یک میلیون چرخه را تحمل نموده‌اند به عنوان "کاملاً" ایمن در نظر گرفته شده‌اند (معادل یک سال راه‌رفتن یک بیمار).

Cheung در پژوهش خود سعی نموده است با مدل‌سازی اجزا محدود توزیع تنش در میله داخل کانالی از پایین وارد شونده استخوان ران (شکل ۲) را در فازهای مختلف از یک سیکل راه‌رفتن را بررسی نماید.(۱۰) در این پژوهش بارگذاری استاتیکی بوده و تماسی مابین کاشتنی و استخوان در نظر گرفته نشده است. نتایج این پژوهش مشابه نتایج Schneider است هر چند تفاوت‌های میان کاشتنی‌های استفاده شده وجود دارد. در این پژوهش به اثرات ناشی از استفاده تعداد متنوع پیچ‌های فوقانی و تحتانی، اثرات ناشی از تمرکز تنش در استخوان، اثرات ناشی از تمرکز تنش در کاشتنی و اثرات ناشی از تقسیم نیرو مابین استخوان و کاشتنی در فازهای مختلف راه‌رفتن پرداخته شده است. در این پژوهش به بررسی اثرات ناشی از خستگی کاشتنی اشاره‌ای نشده است.

میله‌های داخل کانالی از کاشتنی‌های ارتوپدی است که در درمان و پایدارسازی شکستگی استخوان‌های بلند با شکستگی‌های چندتکیه به ویژه استخوان ران کاربرد فراوانی دارد. علی‌رغم استفاده فراوان از این کاشتنی جوش‌نخوردن، بازشکست ناحیه شکست، شکست پیچ‌های فوقانی و تحتانی کاشتنی و شکست کاشتنی از جمله مواردی است که در ارتباط با این کاشتنی مطرح است(۱-۵). در پژوهش‌های انجام‌شده سعی شده تا فاز ابتدایی شکست (پیش از جوش‌نخوردن کامل) به همراه کاشتنی در داخل کانال شبیه‌سازی شده و براین مبنای توزیع تنش در کاشتنی مورد بررسی قرار گرفته و تخمینی از عمر کاشتنی استخراج گردد.

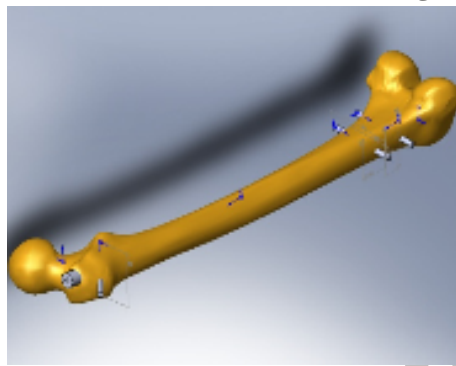
Bucholz با استفاده از روش‌های کلینیکی و همچنین روش‌های عددی استخوان ران و کاشتنی داخل کانالی را به صورت دو بعدی مدل‌سازی نموده است.(۶) Lin مدل استاتیکی استخوان شکسته و پایدارسازی شده به همراه میله داخل کانالی را مورد توجه قرارداده است.(۷) در این تحقیق ضمن بررسی تماس استخوان و بافت، حالت بدون تماس استخوان و بافت نیز در نظر گرفته شده و برای هریک نتایج ارزشمندی از طریق مدل‌سازی و حل تحلیلی ارائه شده است. در این تحلیل کاشتنی به صورت یک تیرستون تحت بارگذاری ساده مورد مطالعه قرار گرفته و تنها از اثرات تماس در ناحیه شکست برای در نظر گرفتن حضور استخوان استفاده شده است. هدف در این بررسی، دستیابی به توزیع تنش در پیچ‌های تحتانی بوده است.



شکل (۱): میله داخل کانالی از بالا وارد شونده به همراه پیچ‌های فوقانی و تحتانی

در پژوهش دیگر Schneider نیروهای وارد بر میله داخل

استخوان ران از مدل سه بعدی استخوان ران نسل سوم اصلاح شده استفاده گردید(۱۰). این مدل در بسیاری از پژوهش‌های صورت‌گرفته بر روی میله‌های داخل کanalی در سال‌های اخیر استفاده شده و کارایی خود را به اثبات رسانیده است(۱۱). با توجه به ابعاد استخوان ران، کاشتنی مناسب انتخاب و نمونه‌ای از آن تهیه گردید. مدل سه بعدی کاشتنی در نرم افزار SolidWorks ایجاد گردید. سپس سوراخ‌های لازم برای جای‌گذاری میله داخل کanalی و پیچ‌های فوقانی و تحتانی در استخوان با توجه به مطالب ارائه شده در متون ارتپیدی ایجاد گردید(۱۰ و ۱۲). در نهایت کاشتنی به همراه پیچ‌های فوقانی و تحتانی در داخل کanal استخوانی قرار گرفت. شکل شماره ۳ تصویر کاشتنی، پیچ‌های فوقانی و تحتانی و استخوان ران را نشان می‌دهد.



شکل ۳: مدل سه بعدی استخوان و کاشتنی

مدل ساخته شده در نرم افزار Solidworks به محیط نرم افزار Hypermesh انتقال داده شد و مشبندی مناسب بر روی مدل صورت گرفت. شکل شماره ۴ تصویر مشبندی شده استخوان ران و کاشتنی را به همراه پیچ‌های فوقانی و تحتانی نشان می‌دهد. برای انجام مشبندی با توجه به توانمندی المان‌های چهار وجهی در مدل سازی استخوان ران(۱۳) از این نوع المان استفاده شد. جدول خواص مکانیکی استخوان و کاشتنی را ارائه می‌نماید(۱۰ و ۱۴). خواص مکانیکی استخوان برای بازسازی شرایط نزدیک به واقعیت در زمان استفاده از مدل رفتاری همسان‌گرد برای استخوان نسل سوم اصلاح شده ارائه گردیده است(۱۰ و ۱۱).



شکل ۲: میله داخل کanalی از پایین وارد شونده

با نگاهی اجمالی به مجموع پژوهش‌های صورت گرفته‌می‌توان نتیجه گرفت که شناخت رفتار مکانیکی میله داخل کanalی در اثر بارگذاری‌های گوناگون شبه استاتیکی و چرخه‌ای کاشتنی همچنان اهماتی وجود دارد. در مدل‌سازی کاشتنی داخل کanalی همواره دیدگاه محقق به دوره زمانی پیش از بهبود کامل شکست‌بوده و تنها در یک پژوهش دوره زمانی پس از بهبود کامل شکست(۱۰) (که این پژوهش به کاشتنی داخل کanalی از پایین وارد شونده محدود و همچنین ساده‌سازی در مدل‌سازی میله داخل کanalی اتفاق افتاده) مورد بررسی قرار گرفته است.

در پژوهش‌های صورت گرفته "معمولًا" بارگذاری بر روی مفصل استخوان ران در نظر گرفته شده است(۹-۶). هر چند در مواردی نیز سعی شده تا ضمن مدل‌سازی شرایط بارگذاری شبه فیزیولوژیک تفاسیری دقیق‌تر از نتایج ارائه بدمت آمده ارائه شود(۵ و ۱۰).

در هیچ یک از این پژوهش‌ها بارگذاری در توزیع توأم کاشتنی از بالا وارد شونده و استخوان و بررسی توزیع تنش در هر کدام مورد توجه قرار نگرفته است. همچنین تاکنون هیچ پژوهشی به بررسی بیومکانیکی مدل کاشتنی از بالا وارد شونده، تحت شرایط فیزیولوژیک نپرداخته است. در این مقاله کاشتنی داخل کanalی از بالا وارد شونده مدل‌سازی گردیده و تاثیر شرایط مزدی (بارگذاری منطبق با شرایط فیزیولوژیک و بارگذاری بر روی مفصل ران) جهت بارگذاری شبه استاتیکی مورد مطالعه قرار گرفته است.

مواد و روش‌ها

مدل‌سازی توأم میله داخل کanalی و استخوان ران در تحلیل عددی بارگذاری توأم میله داخل کanalی و

بارگذاری استفاده گردید:

بارگذاری منطبق با شرایط فیزیولوژیک و اعمال کلیه

نیروهای ماهیچه ای(۱۶)

اعمال نیروی وارد بر مفصل ران منطبق با بررسی های

تجربی مرسم(۱۷)

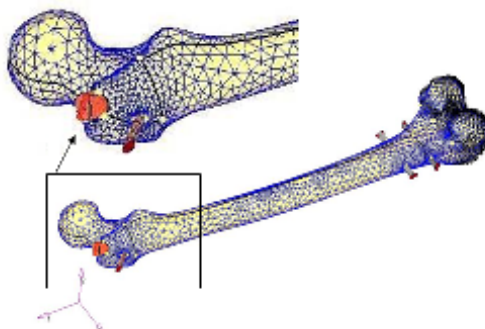
برای مدل سازی تماس مابین کاشتنی و استخوان و

همچنین کاشتنی و پیچ از شرط متداول (در بیومکانیک

ارتوپدی و به ویژه مدل سازی کاشتنی های داخل کانالی)

یکسان سازی درجات آزادی در محل تماس

استفاده گردید(۱۸و۱۹)



شکل ۲: تصویر استخوان و کاشتنی مشبندی شده

جدول ۱: خواص مکانیکی استخوان و کاشتنی(۱۰و۱۱و۱۴)

خواص مکانیکی	ضریب پواسون	ضریب الاستیسیته	ماده
۰.۲۸	۱۰ GPa		استخوان
۰.۳	۱۸۰ GPa	(316L)	کاشتنی

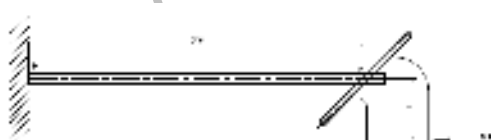
با توجه به افزایش چشمگیر حجم محاسبات در زمان استفاده از المان های درجه ۲ سعی شد تا برای دست یابی به دقت بالاتر از روش کوچک کاشتنی ها به جای بالابردن درجه المان استفاده شود(۱۵). تحلیل حساسیت با توجه به حداقل اندازه المان ها تحت اعمال نیروی ۶۰۰ نیوتون بر انتهای مفصلی استخوان ران در شکل ۵ نشان داده شده است.

$$y_B''(x) + \lambda_B^2 y_B(x) = \frac{M_B(x)}{E_B I_B}, y_B(0) = 0.0, y_B'(0) = 0.0 \quad (1)$$

$$y_N''(x) + \lambda_N^2 y_N(x) = \frac{M_N(x)}{E_N I_N}, y_N(0) = 0.0, y_N'(0) = 0.0 \quad (2)$$

$$\lambda_B^2 = \frac{P - F_1 \cdot \cos(\theta)}{E_B I_B} \quad (3)$$

$$\lambda_N^2 = \frac{F_1 \cdot \cos(\theta)}{E_N I_N} \quad (4)$$

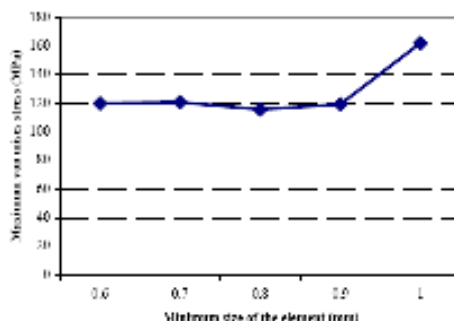


شکل ۶: تصویر مدل تحلیلی استخوان و کاشتنی

برای حل معادلات دیفرانسیل حاکم بر رفتار الاستیک

سعی شد تا از مقادیر میانگین ممان سطح برای استخوان

ران استفاده شود. با توجه به اینکه کاشتنی شکل کاملاً"

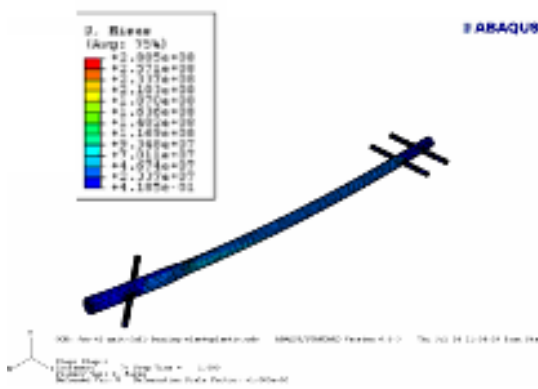


شکل ۵: آنالیز حساسیت بر روی حداقل اندازه المان

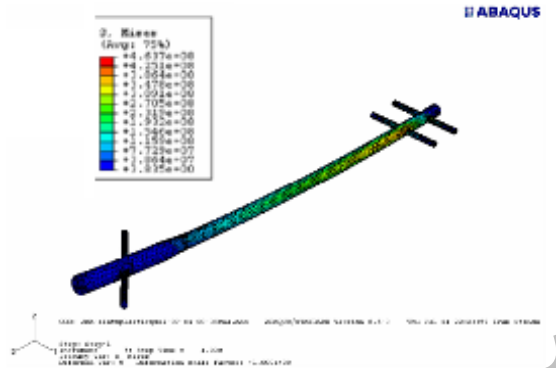
با توجه به نتایج تحلیل حساسیت حداقل اندازه ضلع مش ۶۰ میلیمتر انتخاب شد. بر این مبنای کل مجموعه با ۷۰ هزار المان (۴۰ هزار المان برای کاشتنی و پیچ ها، ۳۰ هزار المان برای استخوان ران) مشبندی گردید.

بارگذاری و تماس

برای بارگذاری همان‌گونه که گفته شد از دو دسته



شکل ۸: کانتور توزیع تنش در کاشتني در ۴۵ درصد سیکل راه رفتن در بارگذاری شبه فیزیولوژیک



شکل ۹: کانتور توزیع تنش در کاشتني در ۴۵ درصد سیکل راه رفتن در بارگذاری بر روی مفصل استخوان ران

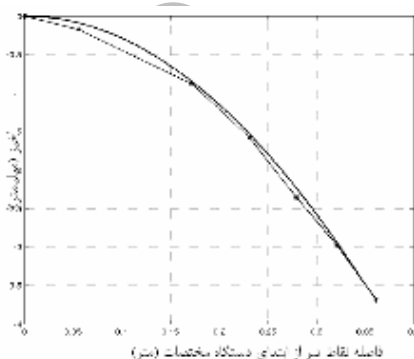
همان‌گونه که ملاحظه می‌گردد الگوی تنش در دو حالت فوقالاشاره تفاوت‌های چشمگیری با یکدیگر دارند. شکل ۱۰ نمودار حداقل تنش و ان مایسنس را در پیچ‌های تحتانی و فوقانی برای هر دو حالت بارگذاری نشان می‌دهد. همان‌گونه که ملاحظه می‌گردد تفاوت چشمگیری میان این نتایج نیز وجوددارد. نکته شایان ذکر آن که در شرایط بارگذاری شبه فیزیولوژیک حداقل تنش و ان مایسنس توسط پیچ فوقانی (۲۸۰ مگاپاسکال) تحمل می‌شود حال آنکه تحت بارگذاری بر روی مفصل ران حداقل تنش و ان مایسنس در محل تماس پیچ تحتانی (۴۶۰ مگاپاسکال) تحمل می‌شود. این مسئله می‌تواند یکی از دلایل تفاوت ما بین جواب‌های آزمون‌های تجربی و شرایط واقعی باشد(۱۲و۹).

این نتایج حاکی از نامناسب بودن بارگذاری بر روی مفصل ران در شبیه‌سازی و همچنین انجام آزمون‌های تجربی

هندسى داشت مقدار ممان سطح کاشتني به صورت تحلیلی و دقیق محاسبه و در محاسبات استفاده گردید. جدول شماره ۲ مقادیر بکار گرفته شده در این محاسبات را نشان می‌دهد.

جدول ۲: مقادیر پارامترهای مرتبط با هندسه و خواص مکانیکی کاشتني و استخوان

$(mm) \delta$	$(mm^4) I_N$	$(mm^4) I_B$	E_N (GPa)	$(GPa) E_B$	پارامتر
۳۴۶	۱۰۰	۵۷۱۸۴	۱۸۰	۱۰	مقدار



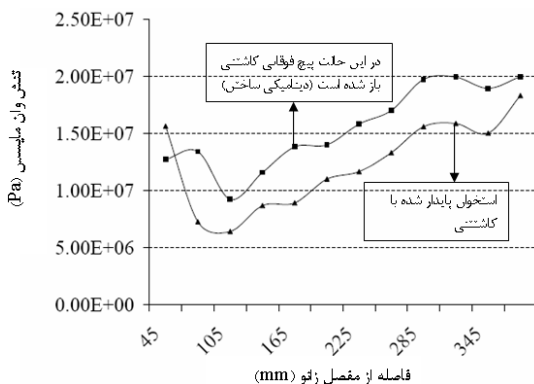
شکل ۷: نمودار خیز کاشتني حاصل از حل تحلیلی (منحنی) و حاصل از محاسبات اجزا محدود(خط مشخص شده با ستاره)

شکل شماره ۷ خیز تیر در شرایط حل تحلیلی و حل عددی نمایش داده شده است. همانگونه که مشاهده می‌گردد همخوانی مناسبی ما بین نتایج وجوددارد که مدل‌سازی، روش و نتایج حل عددی نتایج حاصل از اجزا محدود را تایید می‌نماید.

نتایج و بحث

خواص مکانیکی میله داخل کانالی و استخوان از به روزترین منابع استخراج گردید(۱۴). همان‌گونه که عنوان شد رفتار مکانیکی کاشتني تحت دو دسته بارگذاری مورد مطالعه قرارگرفت. شکل شماره ۸ نتایج حاصل از تحلیل عددی را در بارگذاری شبه فیزیولوژیک در فاز ۴۵ درصد سیکل راه رفتن نشان می‌دهد. شکل شماره ۹ نتایج حاصل از بارگذاری بر روی مفصل ران در فاز ۴۵ درصد سیکل راه رفتن را نشان می‌دهد.

این نتایج مشابه با نتایج بدست آمده در مراجع (۱۰) است. همچنین همانگونه که مشاهده می‌گردد الگوی توزیع تنش در زمان استفاده از میله‌های داخل کانالی در داخل استخوان حفظ می‌شود و این نکته بیانگر مزیت این نوع کاشتنی در ثابت سازی استخوان‌های شکسته شده در مقایسه با پلاک‌های ارتپدی است.



شکل ۱۲: تنش مaksیمم در سطح مقطع استخوان در زمان پایدارسازی استخوان و در زمان دینامیکی ساختن کاشتنی

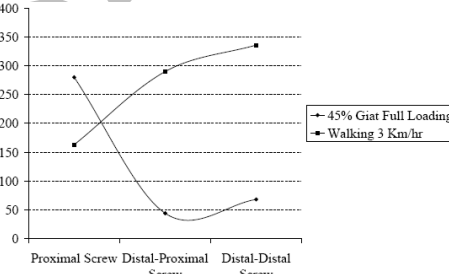
بحث و نتیجه‌گیری

در این مقاله رفتار بیومکانیکی کاشتنی داخل کانالی از بالاواردشونده استخوان ران شبیه‌سازی گردید. بر این مبنای تأثیر روابط مزی (بارگذاری) در مدل سازی و مطالعه رفتار بیومکانیکی میله داخل کانالی از بالاواردشونده مورد بررسی قرار گرفت و ملاحظه گردید که ایجاد روابط بارگذاری منطبق با شرایط فیزیولوژیک تأثیرات چشمگیری در نتایج بدست آمده از تحلیل تنش بر جای می‌گذارد. همچنین مشاهده گردید که در صورت استفاده از بارگذاری منطبق با شرایط فیزیولوژیک پیچ فوقانی بیشترین تنش را تحمل می‌نماید و عدم بهره برداری دینامیکی کاشتنی (بازنمودن پیچ فوقانی) در درازمدت احتمال شکست کاشتنی از این نقطه را افزایش می‌دهد.

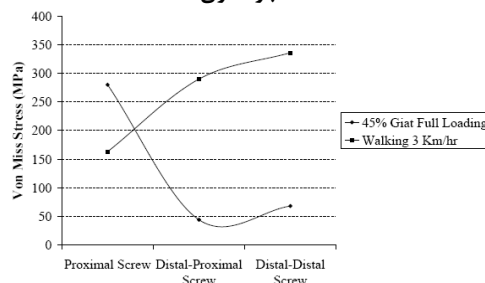
تأثیر استفاده از میله داخل کانالی در تغییر توزیع تنش در داخل استخوان بررسی گردید و نشان داده شد که استفاده از این نوع کاشتنی الگوی توزیع تنش را در استخوان حفظ می‌کند هر چند مقادیر تنش را تا ۵۰ درصد کاهش می‌دهد. این مسئله علاوه بر آنکه بیانگر توانمندی این نوع از کاشتنی در مقایسه با انواع دیگر کاشتنی‌ها (پلاک‌های ارتپدی) است، اهمیت بهره‌برداری دینامیکی کاشتنی را (به منظور اعمال بار

است که در تحقیقات از آن استفاده شده است.

در شرایط بارگذاری شبیه فیزیولوژیک، فازهای دیگر را رفتن (۳۰، ۷۰ و ۱۰) الگوی توزیع تنش بسیار مشابه با الگوی توزیع تنش در بارگذاری در فار ۴۵ درصد است هر چند سطح تنش به شدت افت می‌نماید. شکل ۱۱ مقادیر حداقل تنش و انداخته کاشتنی در بارگذاری دینامیکی (بانمودن پیچ فوقانی) از کاشتنی در دارزمدت می‌تواند باعث شکست پیچ فوقانی گردد. البته بهره‌برداری دینامیکی علاوه بر این مزیت دارای مزیت انتقال بار کامل بر استخوان و جلوگیری از اثرات ناشی از سازگارپذیری استخوان با آستانه تنش اعمالی می‌گردد.



شکل ۱۰: نمودار حداقل تنش وان مایسنس را در پیچ‌های جانبی میله‌های داخل کانالی برای دو حالت متفاوت از بارگذاری



شکل ۱۱: نمودار تنش مaksیمم ون مایسنس را در پیچ‌های فوقانی، تحتانی- فوقانی و تحتانی- تحتانی در یک سیکل راه رفتن

شکل شماره ۱۲ توزیع حداقل تنش را در داخل سطح مقطع استخوان در زمان استفاده از کاشتنی برای پایدار سازی استخوان و در زمان بهره برداری دینامیکی کاشتنی نشان می‌دهد. این نمودار بیانگر تقسیم ۵۰ درصدی نیروی اعمالی مابین استخوان و کاشتنی در زمان پایدارسازی استخوان با استفاده میله داخل کانالی است.

کامل به استخوان و عدم تغییر در خواص استخوانی در اثر
منابع

- تغییر در میزان بارگذاری نشان می‌دهد.
1. Eveleigh RJ. "A review of biomechanical studies of intramedullary nails". Medical Engineering and Physics, Vol 17, No. 5, pp 323–31, 1995.
 2. Ward PJ.; And Goodwin M.I. "The use of the supracondylar nail in the management of femoral fractures in the presence of other femoral implants in the very elderly". Injury, vol. 29, No. 9, 671-675, 1998.
 3. Kumar A, Jasani V, Butt MS. "Management of distal femoral fractures in elderly patients using retrograde titanium supracondylar nails". Vol 31, No. 3, pp 169-173, 2000.
 4. Gynning JB, Hansen D. "Treatment of distal femoral fractures with intramedullary supracondylar nails in elderly patients". Injury. Jan; Vol 30, No. 1, pp 43-6, 1999.
 5. Bråten M, Terjesen T, Rossvoll I. "Femoral shaft fractures treated by intramedullary nailing. A follow-up study focusing on problems related to the method". Injury, Vol 26, No.6, pp 379-83, July, 1995.
 6. Buchholz RW, Ross SE, Lawrence KL, "Fatigue fractures of the interlocking nail in the treatment of the distal part of the femoral shaft. Journal of Bone and Joint Surgery". Journal of Bone and Joint Surgery, Vol 69, No. 9, pp 1391-9, December, 1987.
 7. Lin J, Lin SJ, Chen PQ, Yang SH, "Stress analysis of distal locking screws for femoral interlocking Nailing". Journal of Orthopaedic Research, Vol.19, No. 1, pp 57-63, January, 2001.
 8. Schneider E, Michel MC, Genge M, Zuber K, Ganz R, Perren SM." Loads acting in an intramedullary nail during fracture healing in the human femur". Journal of Biomechanics Vol 32, pp 849–57, July, 2001.
 9. Antekeier SB, Burden RL Jr, Voor MJ, Roberts CS, "Mechanical Study of the Safe Distance Between Distal Femoral Fracture Site and Distal Locking Screws in Antegrade Intramedullary Nailing". Journal of Orthopedic Trauma, Vol 19, No. 10, pp 693-7, Nov-Dec, 2005.
 10. Cheung G, Zalzal P, Bhandari M, Spelt JK, Papini M, "Finite element analysis of a femoral retrograde

- intramedullary nail subject to gait loading". Medical Engineering and Physics, Vol 26, No. 2, pp 93-108, March, 2004.
11. Heiner AD, Brown TD. "Structural properties of a new design of composite replicate femurs and tibias. Journal of Biomechanics, Vol 34, No. 6,pp 773–81, June 2001.
 12. Canale ST, "Campbell's Operative Orthopaedics". Mosby, Pp2750-6, 2003.
 13. Viceconti M, Bellingeri L, Cristofolini L, Toni A, "A comparative study on different methods of automatic mesh generation of human femurs". Medical Engineering and Physics, Vol 20 No. 1, pp 1-10, January, 1998.
 14. Hong SG, Yoon S, Lee SB, "The effect of temperature on low-cycle fatigue behavior of prior cold worked 316L stainless steel". International Journal of Fatigue, Vol 25, No. 9-11, pp 1293-1300, Sep-Nov, 2003.
 15. Bathe K.J., "Finite Element Procedures". Prentice-Hall, Englewood Cliffs, 1995.
 16. Duda GN, Heller M, Albinger J, Schulz O, Schneider E, Claes L, " Influence of muscle forces on femoral strain distribution". Journal of Biomechanics, Vol 31, No. 9, pp 841-6, September, 1998.
 17. Bergmann G, Graichen F, Rohlmann A, " Hip joint loading during walking and running, measured in two patients". Journal of Biomechanics, Vol 26, No. 8, pp 969-90, August 1993.
 18. Wang CJ, Brown CJ, Yettram AL, Procter P, "Intramedullary nails: some design features of the distal end". Medical Engineering and Physics, Vol 25 No. 9, pp 789-94, November, 2003.
 19. Wang CJ, Brown CJ, Yettram AL, Procter P, "Intramedullary femoral nails: one or two lag screws? A preliminary study". Medical Engineering and Physics, Vol 22 No. 9, pp 613-24, November, 2000.
 20. R Cook, W Young," Advanced Mechanics of Materials". Prentice-Hall, Pp 449-52, 1998.